

349609
106 C Ing. I. VONICA

Teză de doctorat

ANEXA 2

Conducător Științific;
Prof. Emerit V. GHEORGHIU

TIMIȘOARA 1977

349609
106 C B

I. COMPARATIE A VALORIIS COEFICIENTILOR DE PIERDERI

PIERD. SI VEL. DIN CONDUCELE DE PIERDERI
PENTRU VELA CU OBSTACOL - DISC SI PORI-
E TURB., U. S. SI DISCUZIA
LA SP. CLASIFICARE

In literatura de specialitate ca și în monogramele și îndreptările hidrotehnice, valorile coeficientilor de pierderi pentru rezistențele locale sunt date, în mare majoritate a caselor, pentru regimul de curgere turbulent pătratic și, în general, pentru un singur tip constructiv în cadrul același gen de rezistență locale (a se vedea tabelele nr.51 și nr.52 anexate). Este semnificativ că nu se indică (cu foarte puține excepții) secțiunea nominală de intrare - legile a rezistenței locale, ceea ce poate introduce eroi foarte mari în aprecierea lui λ , cum cum arată de ex. lucrarea [29], citată și ea în tabelul nr.52.

În anele tratate de bază privind pierderile de sarcină în conducte și rezistențe locale se de x. [23], apăr încă și curbele de variație $\lambda = f(Re)$ pentru unele tipuri de rezistențe locale cum sunt : îngunzarea și largirea bruciș de secțiune, disfragme cu muchie ascuțită, cuturi de secțiune rotundă și dreptunghiulară, crătere formate din tuburi sau șite, plăci glurite, ceea ce arată, evident, că în multe probleme de hidrotehnică variația coeficientului de pierderi cu regimul de curgere (Re) nu mai poate fi neglijată și să trebuiască în considerare la proiectarea instalațiilor care cuprind rezistențe locale, în cazul cînd pierderile de sarcină locale nu valori comparabile cu celelalte pierderi.

Săcă în lucrarea de bază [23], nu sunt date diagrame $\lambda = f(Re)$ pentru robinete-cop și vanele cu obstruator disc, deși acestea sunt unele din cele mai des întâlnite în practica hidraulică; consecvența nu este dată variația coeficientului λ în funcție de diametrul nominal al conductelor lor de răcord (închidere-încișire). Pe de altă parte, [29] (tabelul nr.52) arată că, în poziția "complet deschis", o vannă plană pentru conducte cu $\phi=1/2"$ are $\lambda = 1,0$, și altă $\phi=?$, $\lambda = 0,15$ iar o altă conductă cu $\phi = 12"$, $\lambda = 0,07$ (de 14 ori mai mic, decât pentru conductă de $1/2"$), teste valorile fiind considerate în același regim de

10⁴

0.003 0.011 0.018 0.024 0.031 0.038 0.045 0.052 0.060 0.069 0.077 0.085 0.093 0.099 0.107 0.115 0.123 0.131 0.139 0.147 0.155 0.163 0.171 0.179 0.187 0.195 0.203 0.211 0.219 0.227 0.235 0.243 0.251 0.259 0.267 0.275 0.283 0.291 0.299 0.307 0.315 0.323 0.331 0.339 0.347 0.355 0.363 0.371 0.379 0.387 0.395 0.403 0.411 0.419 0.427 0.435 0.443 0.451 0.459 0.467 0.475 0.483 0.491 0.499 0.507 0.515 0.523 0.531 0.539 0.547 0.555 0.563 0.571 0.579 0.587 0.595 0.603 0.611 0.619 0.627 0.635 0.643 0.651 0.659 0.667 0.675 0.683 0.691 0.699 0.707 0.715 0.723 0.731 0.739 0.747 0.755 0.763 0.771 0.779 0.787 0.795 0.803 0.811 0.819 0.827 0.835 0.843 0.851 0.859 0.867 0.875 0.883 0.891 0.899 0.907 0.915 0.923 0.931 0.939 0.947 0.955 0.963 0.971 0.979 0.987 0.995 0.003 0.011 0.018 0.024 0.031 0.038 0.045 0.052 0.060 0.069 0.077 0.085 0.093 0.099 0.107 0.115 0.123 0.131 0.139 0.147 0.155 0.163 0.171 0.179 0.187 0.195 0.199 0.203 0.211 0.219 0.227 0.235 0.243 0.251 0.259 0.267 0.275 0.283 0.291 0.299 0.307 0.315 0.323 0.331 0.339 0.347 0.355 0.363 0.371 0.379 0.387 0.395 0.399 0.403 0.411 0.419 0.427 0.435 0.443 0.451 0.459 0.467 0.475 0.483 0.491 0.499 0.507 0.515 0.523 0.531 0.539 0.547 0.555 0.563 0.571 0.579 0.587 0.595 0.599 0.603 0.611 0.619 0.627 0.635 0.643 0.651 0.659 0.667 0.675 0.683 0.691 0.699 0.707 0.715 0.723 0.731 0.739 0.747 0.755 0.763 0.771 0.779 0.787 0.795 0.799 0.803 0.811 0.819 0.827 0.835 0.843 0.851 0.859 0.867 0.875 0.883 0.891 0.899 0.907 0.915 0.923 0.931 0.939 0.947 0.955 0.963 0.971 0.979 0.987 0.995

[23]

$\frac{d\alpha}{dx}$

0

0.93

0.99

1.00

1.01

1.02

1.03

1.04

1.05

oblique angle

0

0.93

0.99

1.00

1.01

1.02

1.03

1.04

1.05

1.06

1.07

1.08

1.09

1.10

1.11

1.12

1.13

1.14

1.15

1.16

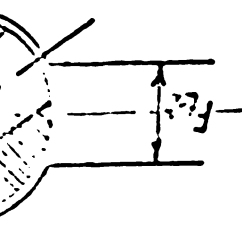
1.17

1.18

1.19

1.20

1.21 - first anti-reflection venturi inlet-deep



more reflective

0

0.93

0.99

1.00

1.01

1.02

1.03

1.04

1.05

1.06

1.07

1.08

1.09

1.10

1.11

1.12

1.13

1.14

1.15

1.16

1.17

1.18

1.19

1.20

Oblique angle

0

0.93

0.99

1.00

1.01

1.02

1.03

1.04

1.05

1.06

1.07

1.08

1.09

1.10

1.11

1.12

1.13

1.14

1.15

1.16

1.17

1.18

1.19

1.20

angle
Lid

Table II
Effect of oblique angle on flow rate across a slit

0.003 0.011 0.018 0.024 0.031 0.038 0.045 0.052 0.060 0.069 0.077 0.085 0.093 0.099 0.107 0.115 0.123 0.131 0.139 0.147 0.155 0.163 0.171 0.179 0.187 0.195 0.199 0.203 0.211 0.219 0.227 0.235 0.243 0.251 0.259 0.267 0.275 0.283 0.291 0.299 0.307 0.315 0.323 0.331 0.339 0.347 0.355 0.363 0.371 0.379 0.387 0.395 0.399 0.403 0.411 0.419 0.427 0.435 0.443 0.451 0.459 0.467 0.475 0.483 0.491 0.499 0.507 0.515 0.523 0.531 0.539 0.547 0.555 0.563 0.571 0.579 0.587 0.595 0.599 0.603 0.611 0.619 0.627 0.635 0.643 0.651 0.659 0.667 0.675 0.683 0.691 0.699 0.707 0.715 0.723 0.731 0.739 0.747 0.755 0.763 0.771 0.779 0.787 0.795 0.799 0.803 0.811 0.819 0.827 0.835 0.843 0.851 0.859 0.867 0.875 0.883 0.891 0.899 0.907 0.915 0.923 0.931 0.939 0.947 0.955 0.963 0.971 0.979 0.987 0.995

1
2
3
4

$$[29] \quad \begin{cases} \alpha^0 & 9^{\circ} \quad 10^{\circ} \quad 15^{\circ} \quad 20^{\circ} \quad 25^{\circ} \quad 30^{\circ} \quad 35^{\circ} \quad 50^{\circ} \quad 65^{\circ} \\ \beta & 0,05 \quad 0,29 \quad 0,73 \quad 1,056 \quad 3,010 \quad 3,67 \quad 9,08 \quad 17,030 \quad 31,02 \quad 92,6 \quad 405 \quad 58,3 \end{cases}$$

[32]

Nu s-a stabilit corespondența între rezultatul obținut și rezultatul obținut cu metodele de măsurare.

$$[33] \quad \begin{cases} \alpha^0 & 50^{\circ} \quad 150^{\circ} \quad 250^{\circ} \quad 450^{\circ} \quad 550^{\circ} \quad 650^{\circ} \\ \beta & 0,005 \quad 0,075 \quad 3,010 \quad 9,059 \quad 31,020 \quad 106 \quad 406 \end{cases}$$

Observații

OBSIG. 3.1.1.1. Toate valorile corespondențelor de observare au fost date în literărilă, ceea ce înseamnă că nu există turbulentă.

—

Tabel 2.1. Pagina

Vanzări plană cu obținută de dispozitiv în cunoștiță circulației

Luminiș - Poștă
magazin
(blocuri)

Grupul de cinci în valoarea conștiințăstului
de vânzări
(blocuri)

4/8 7/8 6/8 3/8 4/8 3/8 2/8 1/8 0

0,129 0,250 0,375 0,500 0,625 0,750 0,875 1

3 E9 17,9 5,00 3,0 0,0 1,0 0,9 0,21

[1]

0,23 0,3 0,4 0,5 0,6 0,7 0,8 0,9 1,0

[2]

30,0 22,0 15,0 5,0 -,80 1,50 0,70 0,30 0,15

[3]

1,0 7/3 3/7 4/5 3/8 2/8 1/8 0

[4]

0 0,125 0,250 0,375 0,500 0,625 0,750 0,875 1

[5]

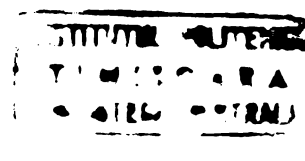
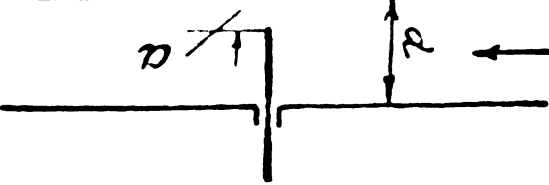
00 98 27,0 5,50 2,0 0,5 0,21 0,07 0

[6]

0,013 0,20 0,30 0,40 0,50 0,60 0,70 0,80 1,0

[7]

00 54,0 25,0 14,0 7,0 0,30 1,0 0 0,75 0,21 0,11



[55]

$$3 \begin{bmatrix} 97,0 & 17,0 & 3,92 & 2,05 & 0,11 & 0,26 & 0,07 & 0 \end{bmatrix}$$

$$\frac{d\theta}{dt} \begin{bmatrix} 7/8 & 6/8 & 5/8 & 4/8 & 3/8 & 2/8 & 1/8 & 0 \end{bmatrix}$$

[20]

	$1/8$	$2/8$	$3/8$	$4/8$	$5/8$	$6/8$	$7/8$
$1/2$	3	450	60	25,0	11,0	2,0	1,00
$1"$	3	320	9,0	4,1	0,9	0,23	
$2"$	3	110	6,9	3,0	0,7	0,16	
$4"$	3	9,7	16	5,3	0,6	0,05	0,14
$1"$	3	230	32	9,0	4,1	0,9	0,23
$2"$	3	110	6,9	3,0	0,7	0,16	
$4"$	3	9,7	16	5,3	0,6	0,05	0,14
$6"$	3	73	14	5,3	2,4	0,5	0,12
$8"$	3	13	5,2	2,3	0,4	0,10	
$10"$	3	56	12	5,1	2,2	0,4	0,07
$12"$	3						

- 5 -

Совокупная
составляющая
вектора
погрешности

погреш.

3 - 4

2

1

5

curgere turbulentă pătratică. Înălț la această variație s-ar adăuga și ocazional producătoare regimul de curgere (Re), limitele de variație ale coeficientilor λ ar fi înălț și mai mari.

Aceste considerații confirmă înțelesul, dacă nu era necesar, faptul că valorile coeficientelor de pierderi date în manualurile și îndreptările hidrotehnice, sunt numai orientative și că dacă se cere stabili să se parecare precizia a valorii coeficientului λ chiar pentru o rezică enălță locală de tip standardizat, trebuie efectuate măsurători "ad hoc", în limitele domeniului de curgere în care urmează să funcționeze rezistența locală și să se traseze diagrama $\lambda = f(Re)$.

Pentru a putea face comparația între rezultatele obținute în lucrare și valorile coeficientelor λ pentru același tip de rezică locală, s-au traseat mai întâi, după lucrările de specialitate indicate în tabelele nr. 51 și 52, diagramele anexate viz. nr. 10. și nr. 11. pentru robinetul-cer și vana cu obturator disc tip "Kudlo" (tip care a fost utilizat și în lucrare).

Ne vom ocupa astăzi detaliat în cap. 2 și 3 din lucru, coeficientii λ determinați prin metoda regimului nepermanent, incluzând pierderile de sarcină între gradiile pișorom trice I și IV, și nr. 12.

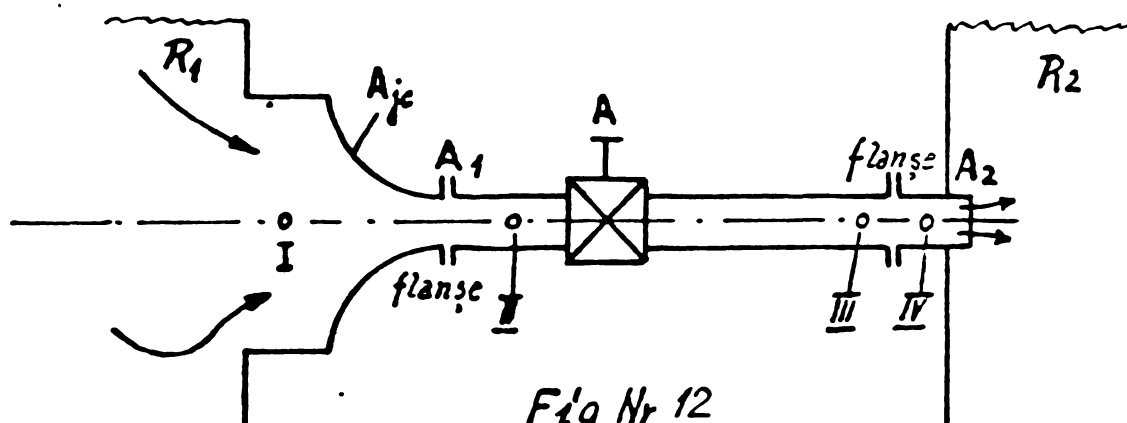
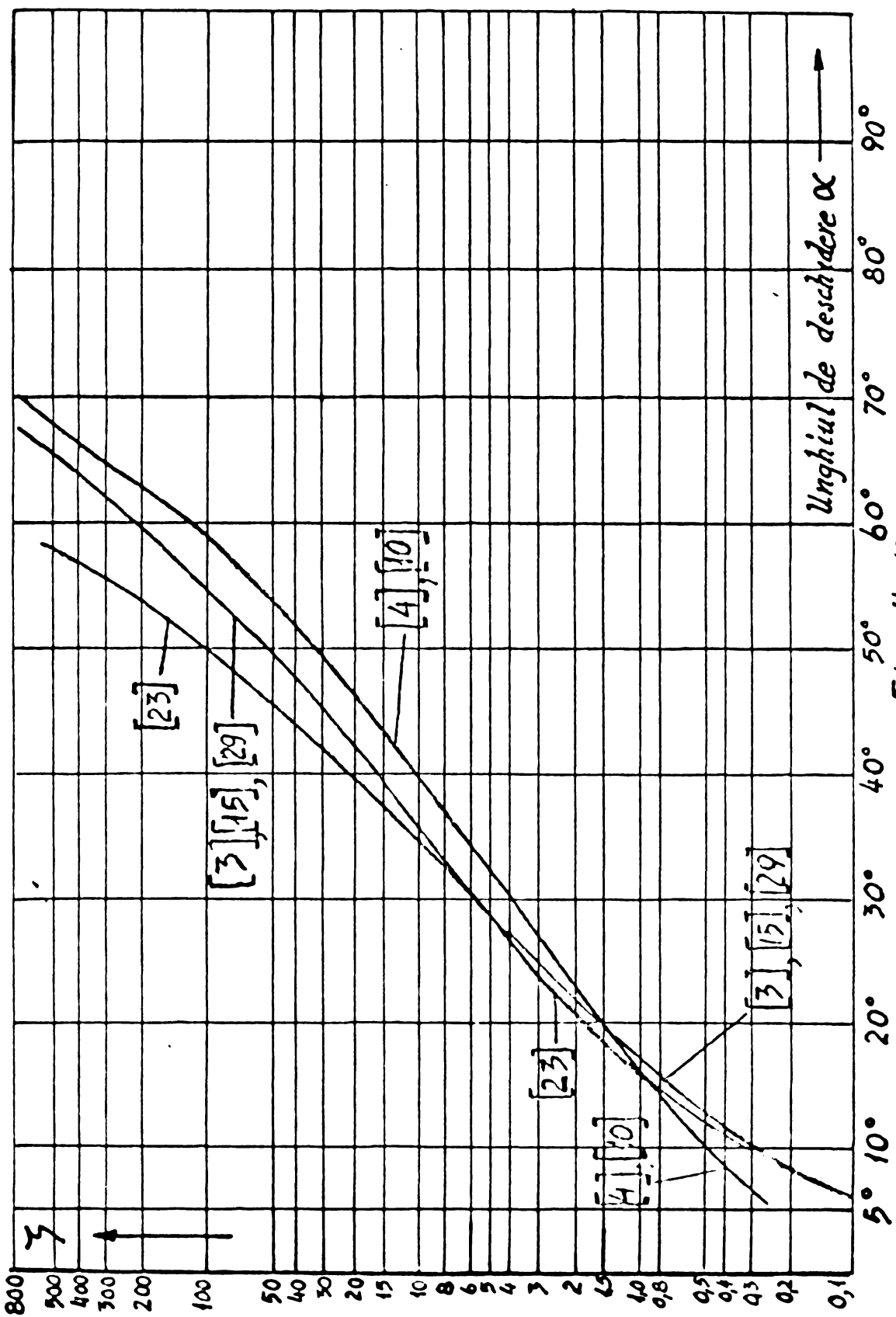


Fig Nr 12

Pentru a face comparațile acurate rezultante cu cele din literatură de specialitate, s-au luat pierderile de sarcină dintre gradiile I-II și III-IV ($\Delta \lambda_{I-II} + \Delta \lambda_{III-IV}$) din pierderea de sarcină totală $\Delta \lambda_{I-IV}$ și s-a calculat coeficientii de pierderi, notându-se λ' , astfel încât acvarie să exprime numai pierderea de rezică din rezistența locală proprie zisă (flanșe și corduri și flanșe). Valorile lui $\Delta \lambda_{I-II}$ și $\Delta \lambda_{III-IV}$ s-au luate din tabelele măsurătorilor efectuate în



Robinet - cep
Fig. Nr 10

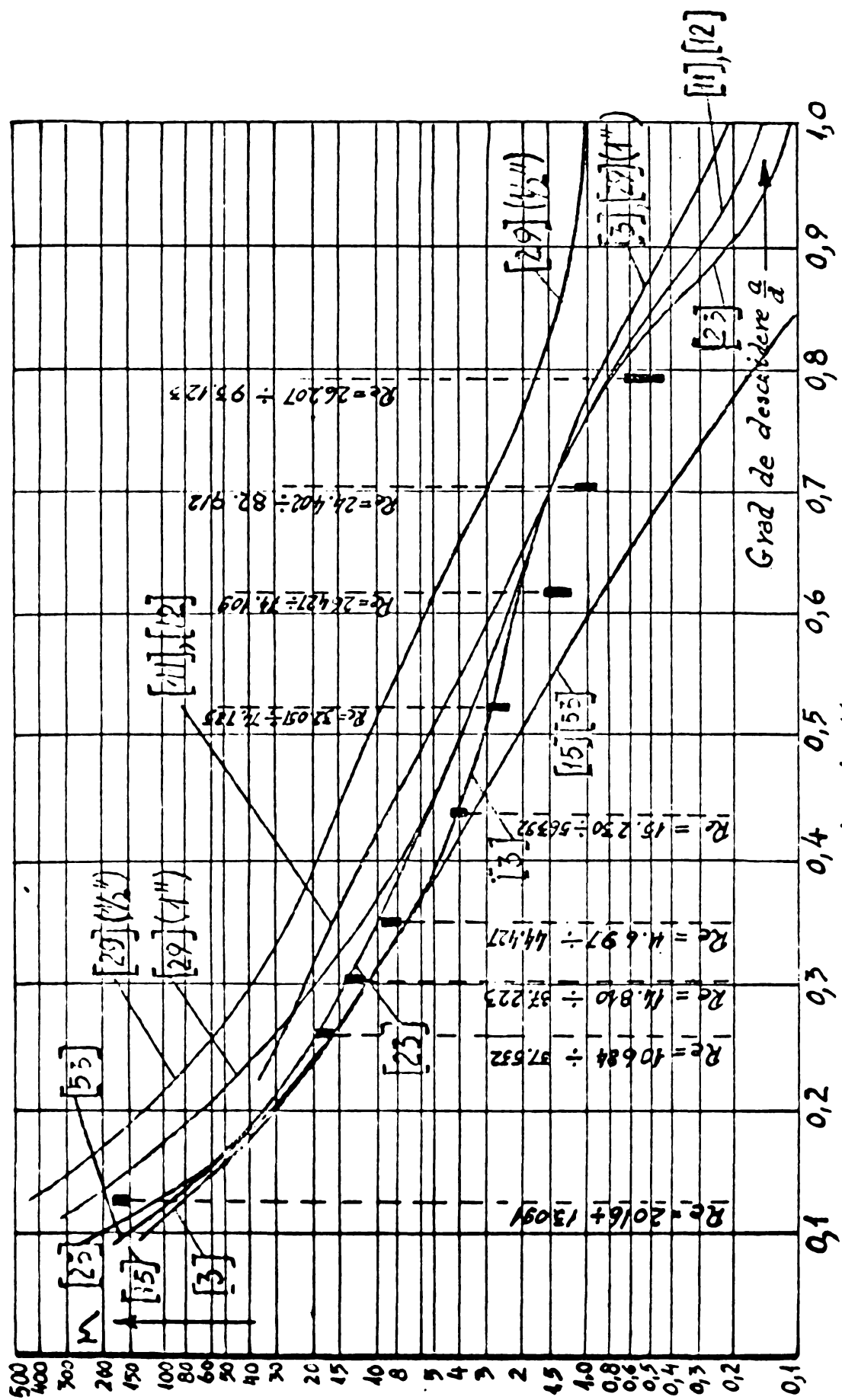


Fig Nr 11
Vane plană și tip Ludo

■ Valori obținute în laborator.

regimul permanent, arătate în cap. II din acestă anexă.

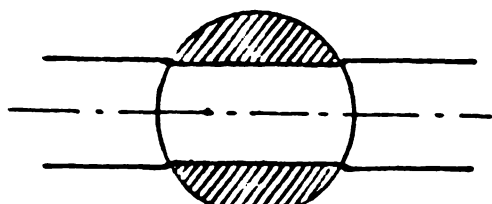
S-au trase și diagramele din fig. nr. 13. și nr. 14. cu variația velocității pierderi, în funcție de viteza de urgere V (din conductă A_1 A_2).

Pentru vena cu obturător-disc, tip Ludlo, s-a obținut coeficientul β' arătat în tabelul nr. 53.

Aceste valori s-au reprezentat sub forma unor dreptunghiuri înegrite în diagrama din nr. 14., pentru comparație cu valorile furnizate de literatură de specialitate. Latura verticală a dreptunghiului reprezintă variația coeficientului de pierderi în funcție de Re , la gradul corespunzător de deschidere al vasei.

După cum se observă, valorile β' deduse prin aplicarea metodei regimului nepermanent se încadrează în "bandă", doarul de lată, de valori din literatură de specialitate.

Pentru robinetul-cep $\phi = 3/4"$, s-a trase și deschiderea diagramei cu valorile din literatură în fig.nr. 16. în diagrama pierderilor de sarcină ($\Delta H_{I-II} + \Delta H_{III-IV}$) în fig. nr. 13.. Comparativ a fost noi mai dificilă din cauza tipului construcțiv diferit al robinetului-cep românesc normalizat SI 2221-53 SA, a cărui secțiune este arătată comparativ cu 23 în fig.nr. 15.



După [23]

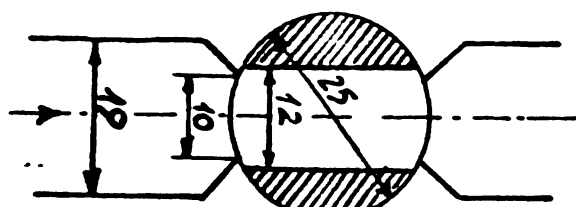


Fig Nr 15

Rob.-cep rom.
 $\phi = 3/4"$

În general gradele de deschidere caracterizate prin unghiul de rotație α (tabelul nr. 51) să se corespund între ele pentru diverse tipuri de robinete-cep atunci cind se compară cu gradele de deschidere (mai exacte) caracterizate prin raportul :

$\frac{\alpha}{\text{tot.}} = \frac{\text{secțiunea de deschidere a canelui la unghiul } \alpha}{\text{secțiunea de trecere totală, nominată, a conductei de record}}$

Pentru a face posibilă comparația între valorile date în [23] (care dă și raportul $\alpha/\alpha_{\text{tot.}}$) și rezultatele obținute în lucrare, s-a trase în diagrama din fig. nr. 16., varia-

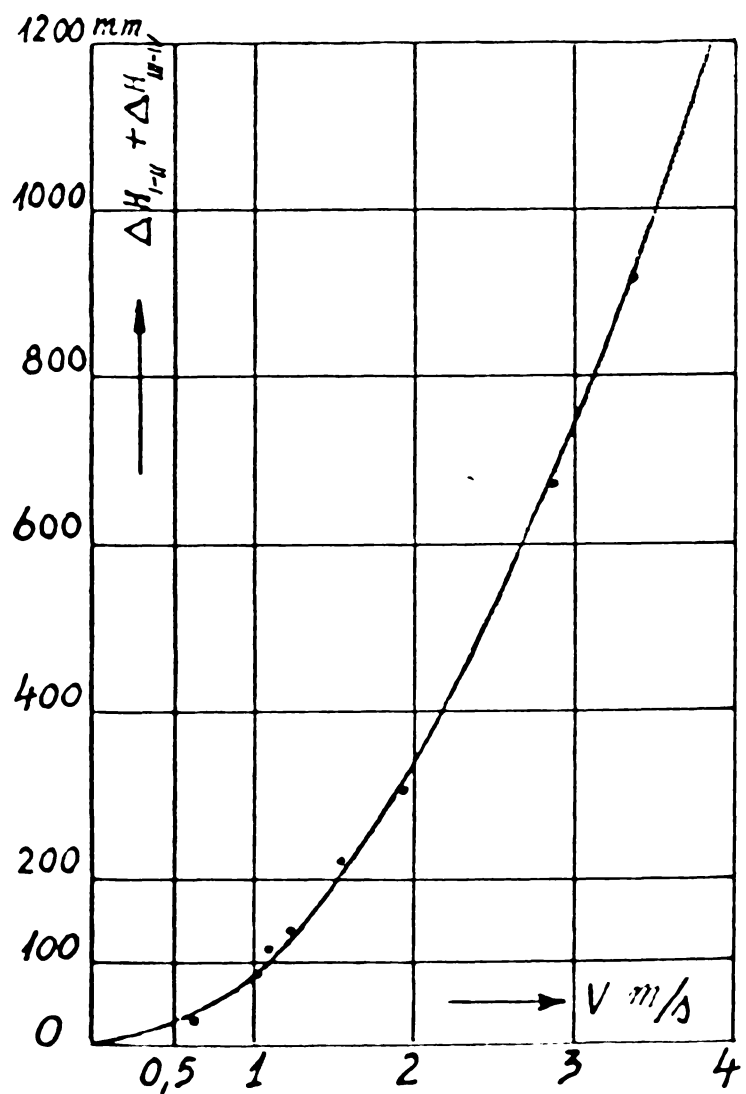


Fig Nr 13
Robinet - cep, $\phi = 3/4"$

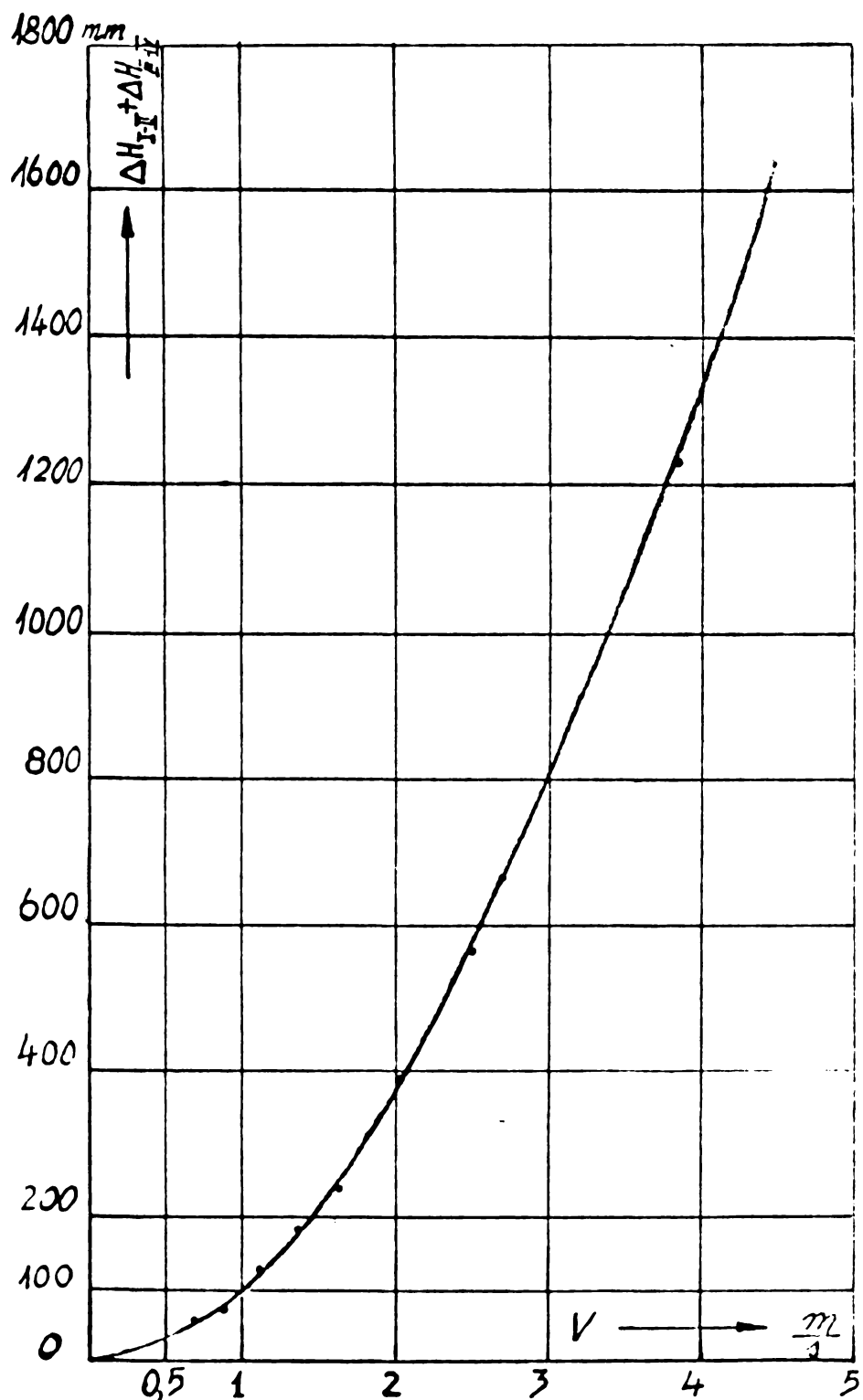
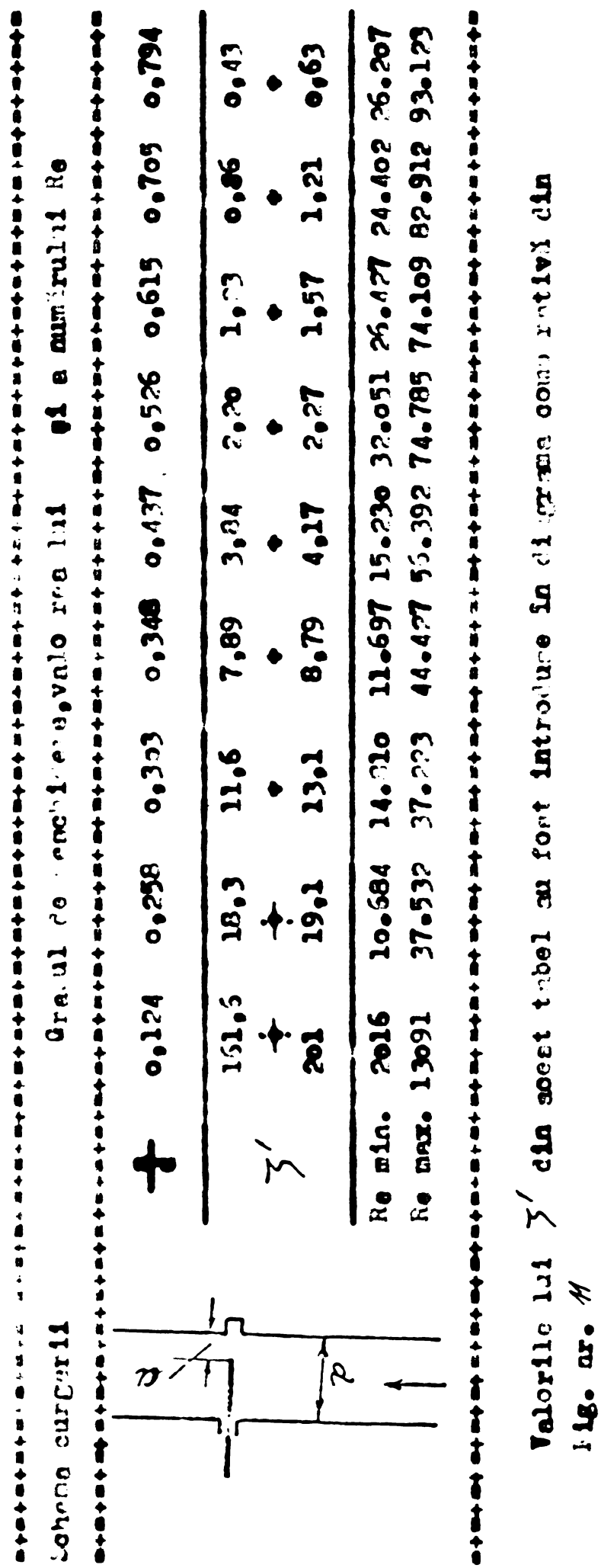


Fig Nr 14

Vană cu obțurător-dix, $\phi = 3/4''$

Table No. 53

Available data in filter curve in laboratory instru-
ment complete in 3/4 revolution recordable in 2 minutes
on ordinary ratio, $R = 3/4$ evolution recordable in 1 minute



Values in 1/4, also see table on front introduce in 1 minute on ordinary ratio, $R = 1$.

Fig. no.

Fig. no.

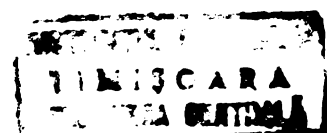
ția coeficientilor de pierderi în funcție de acest report.

Se menționează că s-a ținut seama de deosebirea constructivă dintre robinetul-cep sovietic în leșt în [23] și robinetul-cep de construcție românească I 2221-63 SA, lăudându-se în considerare sechetearea suplimentară existentă la robinetul românesc (fig.nr..15.), între secțiunea conductei de răcordan și secțiunea de trecere variabilă a cepului robinetului. Se asestă reportul corespondent al secțiunilor (F_{α} / F_{tot})¹.

Pentru rezultatele obținute în laborator, Vedeți pe în diagrama din fig.nr.16 sub formă unor dreptunghiuri împărțite, s-a înscris și valorile minime și maxime ale numărului β , pentru care s-a obținut valoarea corepunzătoare ale lui β' .

Din diagramă se poate observa o bună concordanță a valorilor lui β' , cu excepția zonelor de valori mari ($\beta > 30$) sau foarte mici ($\beta < 1$) ale coefficientului de pierdere.

TABEL N 54



Value of α for which $\frac{d\sigma}{d\Omega}$ is

α	0.1	0.2	0.3	0.4	0.5	0.6	0.7	0.8	0.9	1.0	1.1	1.2	1.3	1.4	1.5	1.6	1.7	1.8	1.9	2.0	2.1	2.2	2.3	2.4	2.5	2.6	2.7	2.8	2.9	3.0	3.1	3.2	3.3	3.4	3.5	3.6	3.7	3.8	3.9	4.0	4.1	4.2	4.3	4.4	4.5	4.6	4.7	4.8	4.9	5.0	5.1	5.2	5.3	5.4	5.5	5.6	5.7	5.8	5.9	6.0	6.1	6.2	6.3	6.4	6.5	6.6	6.7	6.8	6.9	7.0	7.1	7.2	7.3	7.4	7.5	7.6	7.7	7.8	7.9	8.0	8.1	8.2	8.3	8.4	8.5	8.6	8.7	8.8	8.9	9.0	9.1	9.2	9.3	9.4	9.5	9.6	9.7	9.8	9.9	10.0	10.1	10.2	10.3	10.4	10.5	10.6	10.7	10.8	10.9	11.0	11.1	11.2	11.3	11.4	11.5	11.6	11.7	11.8	11.9	12.0	12.1	12.2	12.3	12.4	12.5	12.6	12.7	12.8	12.9	13.0	13.1	13.2	13.3	13.4	13.5	13.6	13.7	13.8	13.9	14.0	14.1	14.2	14.3	14.4	14.5	14.6	14.7	14.8	14.9	15.0	15.1	15.2	15.3	15.4	15.5	15.6	15.7	15.8	15.9	16.0	16.1	16.2	16.3	16.4	16.5	16.6	16.7	16.8	16.9	17.0	17.1	17.2	17.3	17.4	17.5	17.6	17.7	17.8	17.9	18.0	18.1	18.2	18.3	18.4	18.5	18.6	18.7	18.8	18.9	19.0	19.1	19.2	19.3	19.4	19.5	19.6	19.7	19.8	19.9	20.0	20.1	20.2	20.3	20.4	20.5	20.6	20.7	20.8	20.9	21.0	21.1	21.2	21.3	21.4	21.5	21.6	21.7	21.8	21.9	22.0	22.1	22.2	22.3	22.4	22.5	22.6	22.7	22.8	22.9	23.0	23.1	23.2	23.3	23.4	23.5	23.6	23.7	23.8	23.9	24.0	24.1	24.2	24.3	24.4	24.5	24.6	24.7	24.8	24.9	25.0	25.1	25.2	25.3	25.4	25.5	25.6	25.7	25.8	25.9	26.0	26.1	26.2	26.3	26.4	26.5	26.6	26.7	26.8	26.9	27.0	27.1	27.2	27.3	27.4	27.5	27.6	27.7	27.8	27.9	28.0	28.1	28.2	28.3	28.4	28.5	28.6	28.7	28.8	28.9	29.0	29.1	29.2	29.3	29.4	29.5	29.6	29.7	29.8	29.9	30.0	30.1	30.2	30.3	30.4	30.5	30.6	30.7	30.8	30.9	31.0	31.1	31.2	31.3	31.4	31.5	31.6	31.7	31.8	31.9	32.0	32.1	32.2	32.3	32.4	32.5	32.6	32.7	32.8	32.9	33.0	33.1	33.2	33.3	33.4	33.5	33.6	33.7	33.8	33.9	34.0	34.1	34.2	34.3	34.4	34.5	34.6	34.7	34.8	34.9	35.0	35.1	35.2	35.3	35.4	35.5	35.6	35.7	35.8	35.9	36.0	36.1	36.2	36.3	36.4	36.5	36.6	36.7	36.8	36.9	37.0	37.1	37.2	37.3	37.4	37.5	37.6	37.7	37.8	37.9	38.0	38.1	38.2	38.3	38.4	38.5	38.6	38.7	38.8	38.9	39.0	39.1	39.2	39.3	39.4	39.5	39.6	39.7	39.8	39.9	40.0	40.1	40.2	40.3	40.4	40.5	40.6	40.7	40.8	40.9	41.0	41.1	41.2	41.3	41.4	41.5	41.6	41.7	41.8	41.9	42.0	42.1	42.2	42.3	42.4	42.5	42.6	42.7	42.8	42.9	43.0	43.1	43.2	43.3	43.4	43.5	43.6	43.7	43.8	43.9	44.0	44.1	44.2	44.3	44.4	44.5	44.6	44.7	44.8	44.9	45.0	45.1	45.2	45.3	45.4	45.5	45.6	45.7	45.8	45.9	46.0	46.1	46.2	46.3	46.4	46.5	46.6	46.7	46.8	46.9	47.0	47.1	47.2	47.3	47.4	47.5	47.6	47.7	47.8	47.9	48.0	48.1	48.2	48.3	48.4	48.5	48.6	48.7	48.8	48.9	49.0	49.1	49.2	49.3	49.4	49.5	49.6	49.7	49.8	49.9	50.0
----------	-----	-----	-----	-----	-----	-----	-----	-----	-----	-----	-----	-----	-----	-----	-----	-----	-----	-----	-----	-----	-----	-----	-----	-----	-----	-----	-----	-----	-----	-----	-----	-----	-----	-----	-----	-----	-----	-----	-----	-----	-----	-----	-----	-----	-----	-----	-----	-----	-----	-----	-----	-----	-----	-----	-----	-----	-----	-----	-----	-----	-----	-----	-----	-----	-----	-----	-----	-----	-----	-----	-----	-----	-----	-----	-----	-----	-----	-----	-----	-----	-----	-----	-----	-----	-----	-----	-----	-----	-----	-----	-----	-----	-----	-----	-----	-----	-----	-----	-----	------	------	------	------	------	------	------	------	------	------	------	------	------	------	------	------	------	------	------	------	------	------	------	------	------	------	------	------	------	------	------	------	------	------	------	------	------	------	------	------	------	------	------	------	------	------	------	------	------	------	------	------	------	------	------	------	------	------	------	------	------	------	------	------	------	------	------	------	------	------	------	------	------	------	------	------	------	------	------	------	------	------	------	------	------	------	------	------	------	------	------	------	------	------	------	------	------	------	------	------	------	------	------	------	------	------	------	------	------	------	------	------	------	------	------	------	------	------	------	------	------	------	------	------	------	------	------	------	------	------	------	------	------	------	------	------	------	------	------	------	------	------	------	------	------	------	------	------	------	------	------	------	------	------	------	------	------	------	------	------	------	------	------	------	------	------	------	------	------	------	------	------	------	------	------	------	------	------	------	------	------	------	------	------	------	------	------	------	------	------	------	------	------	------	------	------	------	------	------	------	------	------	------	------	------	------	------	------	------	------	------	------	------	------	------	------	------	------	------	------	------	------	------	------	------	------	------	------	------	------	------	------	------	------	------	------	------	------	------	------	------	------	------	------	------	------	------	------	------	------	------	------	------	------	------	------	------	------	------	------	------	------	------	------	------	------	------	------	------	------	------	------	------	------	------	------	------	------	------	------	------	------	------	------	------	------	------	------	------	------	------	------	------	------	------	------	------	------	------	------	------	------	------	------	------	------	------	------	------	------	------	------	------	------	------	------	------	------	------	------	------	------	------	------	------	------	------	------	------	------	------	------	------	------	------	------	------	------	------	------	------	------	------	------	------	------	------	------	------	------	------	------	------	------	------	------	------	------	------	------	------	------	------	------	------	------	------	------	------	------	------	------	------	------	------	------	------	------	------	------	------	------	------	------	------	------	------	------	------	------	------	------	------	------	------	------	------	------	------	------	------

- 14 -

Page 10 of 10
Date 10/10/2010
Time 10:10 AM

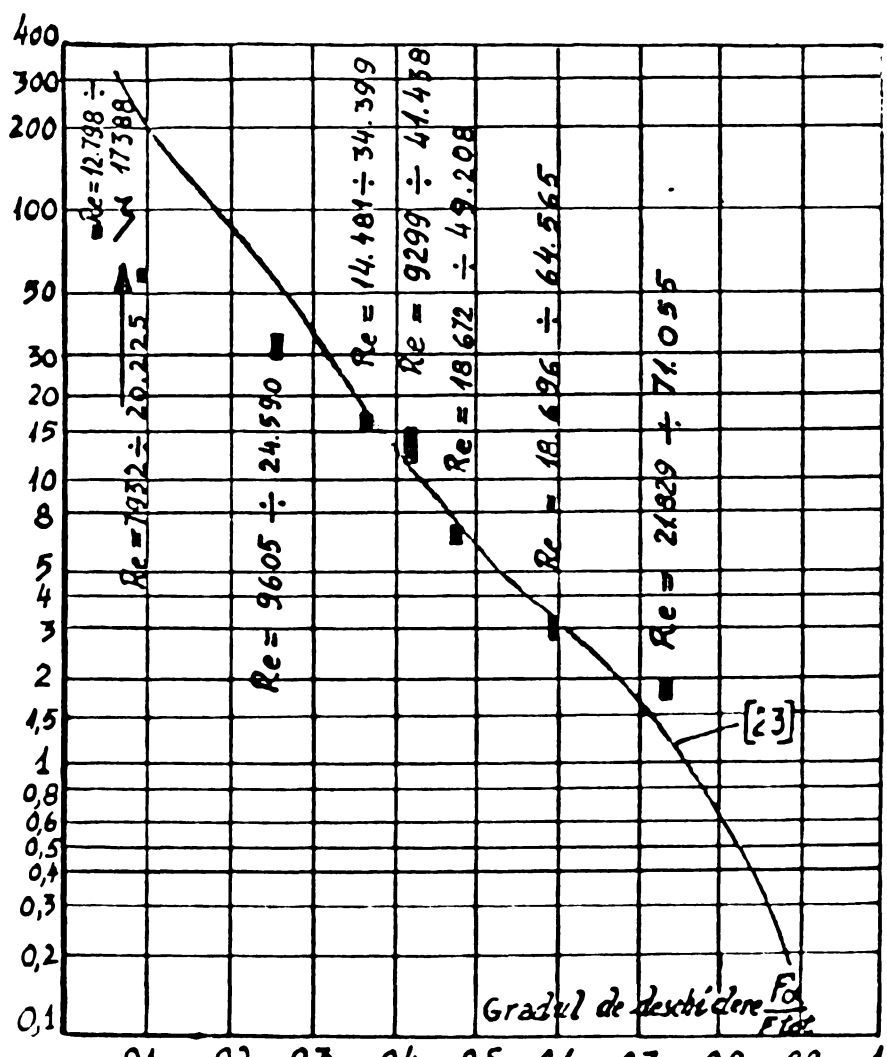


Fig. Nr 16

■ Valori obținute în laborator

II. DEZAKTAREA MANUAFACORILOR CUMPUZATIVE SECUJUA S. IN REGIM DE CURGERE PERMANENT

Așa cum s-a arătat în cap.3 și 4 din teză, pentru verificarea rezultatelor obținute în determinarea coeficientului prin aplicarea regimului permanent, la fiecare serie de determinări corespunzătoare unui "grad de deschidere" a rezistenței locale, s-a efectuat și căte 5-7 măsurători prin metoda clasică a curgerii în regim permanent. Pentru acea situație, rezistența locală studiată a fost lăsată exact în poziție rimedă de la ultima măsurătoare efectuată în regim nepermanent (rezistența locală nu a fost nici măcar atinsă) și imediat s-a trecut în continuare la efectuarea măsurătorilor în regimul permanent. S-a deschis apoi vana R_4 (13) din Fig.3, ceea ce a făcut să curgă prin conductă de aducție (12) și distribuitorul (14), liniștit (apă) în recipientul R_1 . Apă venind de la un rezervor cu nivel constant (prevăzut cu un dispozitiv de "apă plin") situat pe acoperișul laboratorului hidrotehnic. Ulterior s-a deschis și robinetul de golire R_g (5), Fig.3, montat la baza recipientului R_2 și, prin varierea coordonată a gradelor de deschidere a robinetelor R_4 și R_g (ce către experimentator și ajutorul său), s-a obținut diferite debite de curgere constante prin conducta de legătură A_1A_2 , respectiv prin rezistența locală studiată. Pentru fiecare din aceste debite (5-7 debite din crite), s-a așteptat stabilizarea nivelurilor liniștiduii în cele patru tuburi piezometricice T_I , T_{II} , T_{III} , T_{IV} raccordate la prizele piezometricice I, II, III, IV (Fig.3,6) și ceea ce a durat între 45-70 minute în fiecare măsurătoare.

Să menționăm că în tot acest timp, pompa de alimentare a rezervorului de pe acoperișul laboratorului a funcționat, pentru menținerea constantă a nivelului din acel rezervor.

La sfârșitul fiecărei perioade de stabilizare a nivelului apăi în tuburile piezometricice, s-a făcut măsurătoarea debitului ce trecea prin rezistență locală și citirile celor patru înălțimi piezometricice. În acest scop s-a colcat în robinetul R_g , într-un vas de formă paralelipipedic confecționat special în acest scop, având dimensiunile de 260 x 340 x 400 mm (capacitate decca 35 litrii).

Acest vas colector transportabil, era așezat de încasă

dată într-un canal de beton de sourgele existent în laborator în apropierea recipientului R₂, astfel încât nivelul superior al vasului se află cu circa 15 cm mai jos decât nivelul robinetului de golire R_g. Legătura dintre eșeu de ieșire și robinetului R_g și vasul colector era făcută printr-o țavă de diametru mare (80 mm), incolindă spre vîs. Jurata colectării lichidului a verificat întărită că vîsul colector era colțat și că elrigitul său a făcut pricină elibera ea să se intrerupă în brucă și vasei fluide libere care cădea în vasul colector, cu ajutorul unei bucați de tablă de formă adecvată; operatiile executate chirurgical de autorul lucrării, în timp ce ajutătorul său pornea sau oprea cronometrul (de perioada 1/10 secunde) era în altă durată amplioră a vasului.

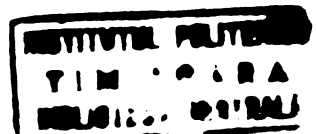
Conditatea de lichid colectat a fort miu mată ou ajutorul mai mul or vase etalonate de cîrte cunoscită după care se determină debitul curgerii.

Cind totalitatea operațiilor la o eroare nu decurge în bune condiții sau cind există indicații sau semnale care să sugereze că măsurările ar prezenta eroare, ele ar trebui repetate de la început. La fiecare măsurătoare se notează și temperatura lichidului pe linia celelalte elemente ale surgerii.

Cu ajutorul metodelor obținute se calculează apoi valoarea coeficientului corespunzător prezentat în tabloul de mai jos dintr-tuburile piezometricice T_I și T_{IV} , prin aplicarea teoremei lui Bernoulli, aşa cum este indicat la pag. 52-54 din teză. Se dau mai deosebit de multe tabele cu exemple de calcul, una dintre ele fiind următoarea:

Compararea valorilor coeficientilor β cu cele obținute prin metoda regimului permanent se poate face pentru anumite exemple, utilizând tabelele Nr.13 și Nr.22 din teză. Compararea arată că între rezultatele obținute prin cele două metode, diferențele nu depășesc, nici la valorile singulare, 3%.

~~349.609~~ 106 C



Robustness test, $\delta = 3/4^{\circ}$, Error bar of dec. 1 and $\alpha = 50^{\circ}$

Obs.	Volume			Larvae			Vite-Spiel			Temperature Coeff.			Method	
	10.5°	15.5°	20.5°	10.5°	15.5°	20.5°	10.5°	15.5°	20.5°	10.5°	15.5°	20.5°		
1.	10.5°	15.5°	20.5°	9.56	9.58	9.59	21.854	50	0.3544	1.024	1.0793	14	30.56	
2.	10.5°	15.5°	20.5°	25.91	3.92	380	21.984	50	0.4164	1.0183	2.02934	14	31.16	
3.	10.5°	15.5°	20.5°	30.49	30.49	191	28.0092	50	0.4682	1.019	2.0874	14	30.85	
4.	10.5°	15.5°	20.5°	30.49	30.49	2918	50	0.4791	1.0218	2.0491	14	31.23		
5.	10.5°	15.5°	20.5°	27.71	27.71	943	933	25.438	60	0.4-38	1.0204	2.0298	14	29.96
6.	10.5°	15.5°	20.5°	21.92	21.92	1544	1539	21.520	100	0.2152	0.611	0.553	14	32.95
7.	10.5°	15.5°	20.5°	20.73	20.73	1531	1527	20.94	150	0.1932	0.548	0.373	14	36.12
8.	10.5°	15.5°	20.5°	20.73	20.73	20.00	20.00	-	-	-	-	-	18	

	2001	2002	2003	2004	2005	2006	2007	2008	2009	2010	2011	2012	2013	2014	2015	2016	2017	2018	2019
1.	2054	2362.9	2073	2144	1122	226548	60	0.3753	1,057	1,2493	24	20,29	Mitsuda						
2.	2054	2125.9	2341.2	1351	1334	17,790	50	0.3553	1,011	1,0913	23	19,84	regional						
3.	1407	2035	1990	2057	1961	1532	21,792	80	0.2874	0,917	0,747	24	20,78	Perseus					
4.	1407	1959	1959	1959	14865147	17,192	70	0,2855	0,597	0,512	24	20,20	Perseus						
5.	1407	2190	2190	2057	1961	1532	21,792	80	0.2724	0,773	0,6558	24	20,38						
6.	1407	2373	2373	2024	354	329	24,125	50	0,485	1,370	2,044	24	20,37						
7.	1623	3065	3065	2999	188	135	23,150	50	0,5720	1,6556	3,0655	24	20,84						

১০

卷之三

Vandeline, # 3/4" • GR • UL • sec 1 zero

CAPITOLUL II. ANALIZA COMPARATIVA A VALORILOR COEFICIENTILOR DE PIERDERI SI RESISTENȚELE LOCALĂ
CELE TREI TIPOURI DE VANELE LOCALĂ
SEUDELE DE LABORATOR

In laborator au fost determinate și-a cum se-a mai arătat, coeficientii de pierderi λ , în domeniile regimului de curgere de tranziție și turbulent pătratic, pentru următoarele rezistențe locale reglabile :

1. Robinet-cep cu di metrul nominal $\phi = 3/4"$, normalizat NI 2221-63 CA, foto 3,4 pag.57 din teză;
2. Vană cu obturatorul în formă de disc cu $\phi = 3/4"$, normalizat NI 524-3, foto 5-8, pag.58-59 din teză;
3. Robinet-cep cu $\phi = 1/2"$, normalizat NI 2261-63 CA, foto 3,4 pag.57 din teză.

A patra re rezistență locală studiată, filtrul de motorină CARBIL Brăgov, tip 46 seria 274/1975, nu era reglabilă și vinea o singură stare (poziție) de funcționare.

Pentru robinetul-cep $\phi = 3/4"$ diagramele din lucrare D 10 - D 18, în număr de 9, au fost concentrate în diagrame (concentratoare) din Fig.nr..17.

Pentru vană cu obturatorul disc $\phi = 3/4"$, diagramele D 20 - D 34, în număr de 15, au fost concentrate în diagrame (concentratoare) din Fig.nr..18.

Pentru robinetul-cep $\phi = 1/2"$, diagramele D 40 - D 46, în număr de 7, au fost concentrate în Fig. nr.19.

Pentru toate diagramele concentratoare s-au utilizat pentru axele lui λ și Re scriri logaritmice adecvate domeniului foarte larg de variație al valorii coeficientilor de pierderi, cu gradul de deschidere al rezistențelor respective.

S-a arătat în lucrare că, din cauze condițiilor obiective de lucru existente în laborator, domeniul curgerii turbulent pătratic nu a putut să atingă pentru nici unu din rezistențele locale studiate; din aceleasi cauze, viteză maximă a numărului Re ce a putut să se realizeze a fost de numai 93.123 (caza vanăi cu obturator disc, la viteza de curgere $V = 4,824$ m/s).

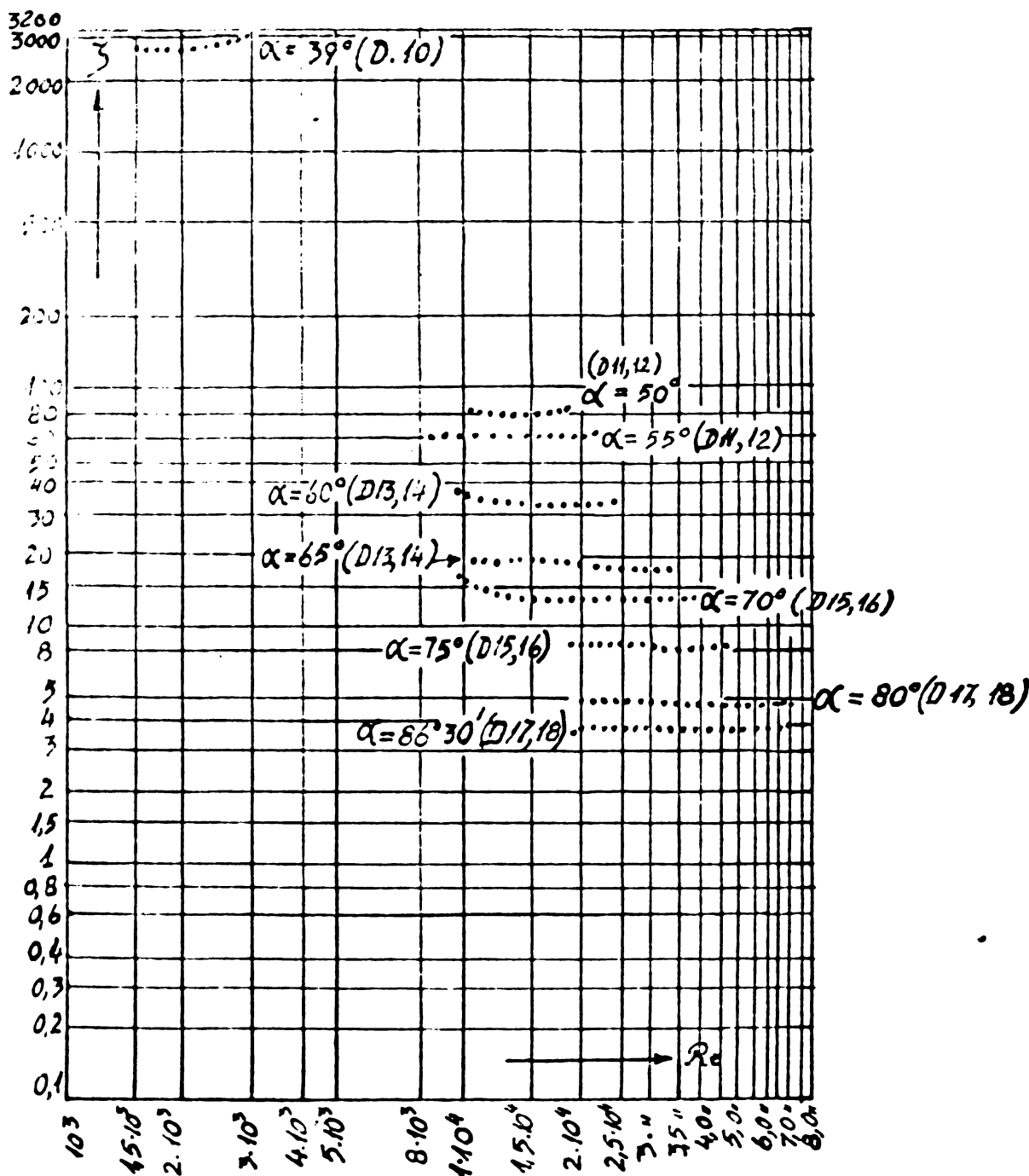


Fig. Nr. 17 Diagrama concentratoare a coefic.
de pierdere la robinet cu $d = 3/4''$.

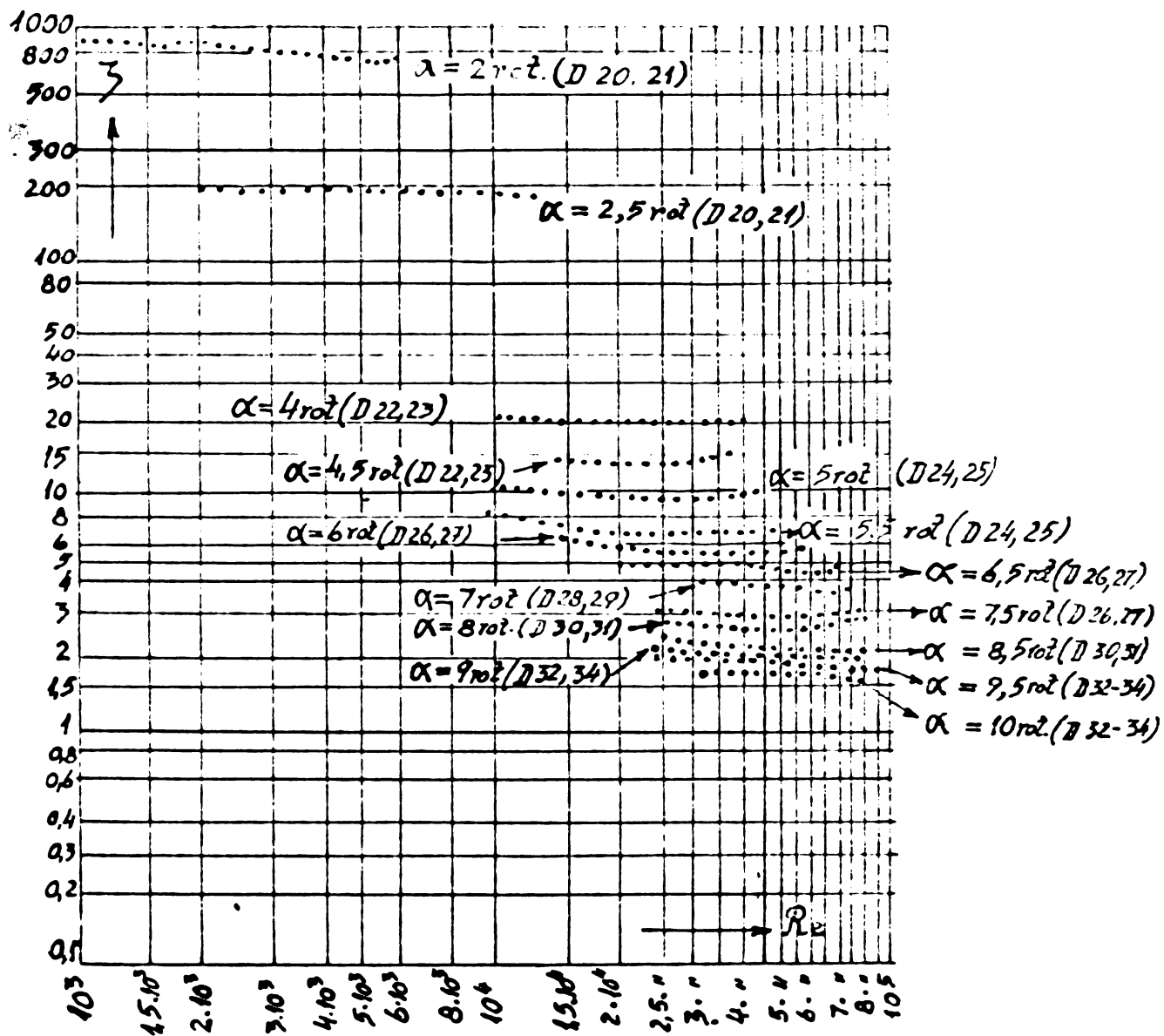


Fig. Nr 18 Diagrama concentrării a coeficientelor

de pierderi în pătră vana cu oblurător - disc

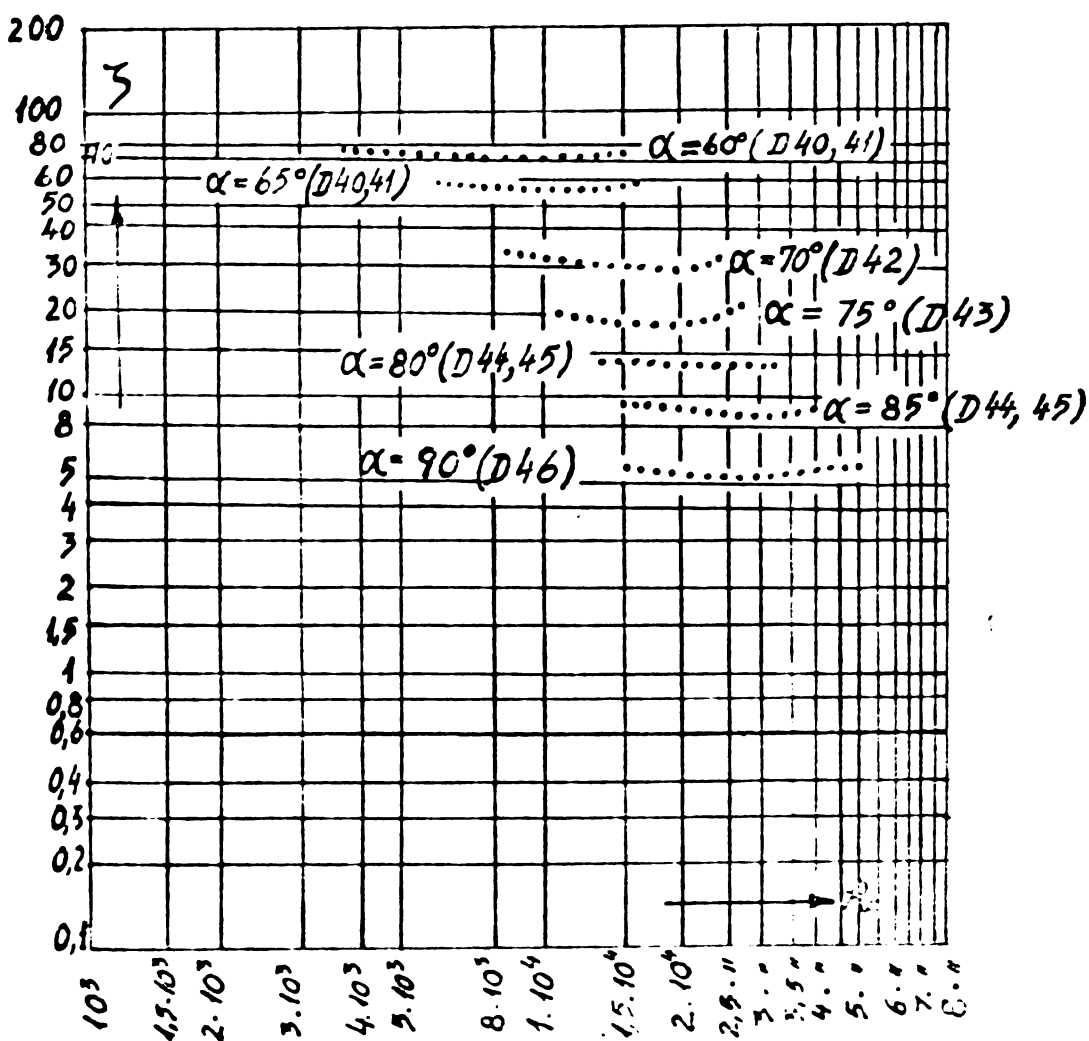


Fig. Nr 19 Disegnare concentrazione e coefficiente
di pleniere 3, per robinet-cep, $t = 1/2$.



Regimul de curgere de tranziție și de turbulentă pre-
oțierică la rezistențele locale de tipul celor studiate în
lucrarea de fată, a fost puțin studiat în literatura de specialitate pe care am avut posibilitatea să o cercetăm.

Nici în lucrarea de bază [23] (Idelcik I.E., Spravo-
cînik po gidrogravlioskîm soprotivleniem, Moskva, Mashinostroenie
1975) nu sunt date, pentru aceste tipuri de rezistențe lo-
cale, diagrame de variație ale coeficientelor λ cu Re degă
sunt date asupra diagrame pentru cîteva alte tipuri de resis-
tențe locale, așa cum s-a arătat în cap.I din această anexă 2.

În lucrarea Frenkel N.E., Ghidrovlika, Mockva-Leningrad,
1956, este studiată mai în detaliu dependența coeficientului de
 pierderi λ de numărul Re , pentru cîteva tipuri de robinete și
vane între care și robinetul-cep și vane cu obturător plan (de-
numită vână simplă).

Dină Frenkel se pot distinge cinci tipuri de relații
între λ și Re sau cinci zone :

Zona I, în care curgerea lichidului este laminară și
relația este de forma $\lambda = \frac{A}{Re}$ în care A este un coefi-
cient care depinde de atât de geometria interioară a robinetu-
lui, ventilului, vanei etc. cât și de dimensiunile nominale ale
canelor.

Zona II, în care curgerea în conductele de record ale
rezistenței locale este laminară dar, în interiorul corpului a-
cesteia și pe o distanță oarecare spre aval, ea este turbulentă.
În acest caz expresia lui λ este destul de complicată și se
noată lăsă în unele cazuri $\lambda = \frac{B}{Re^x}$. Pentru o vână simplă se
ponea lăsă $x = 0,27$ (Frenkel).

Zona III în care și în conductă curgerea devine turbu-
lentă, aflindu-se în regimul de tranziție. În acest caz, relația
se poate scrie $\lambda = \frac{C}{Re^{0,53}}$

Zona IV în care curgerea este turbulentă peste tot dar
cu numere Re mult prea mari. În această zonă, λ mai prezintă o
slabă dependență de Re .

Zona V, în care curgerea este turbulentă pînă la Re și
nu mai depinde de Re , $\lambda = \text{const.}$

După Frenkel, se dau mai jos, valorile coeficientelor A, B, C din relațiile de mai sus, pentru patru tipuri de robinete și vane.

Diametru nominal nominal in mm	Diametrul nominal			
	A	B	C	
27	4950	88	565	
-----	-----	-----	-----	
Robinet cu vane	41	3020	84	524
	53	1778	50	369
-----	-----	-----	-----	
Ventil cu supapă oblică	53	889	136	
	75	960	-	
-----	-----	-----	-----	
Vane simplă	53	400	59	
	105	347	-	
-----	-----	-----	-----	
Robinet cu ventil	53	177	55	

După cum se vede și din aceste date există diferențe foarte mari între valorile coeficientilor A, B, C, chiar pentru același tip construcțiv de robinet sau vane, în funcție de diametrul nominal al acestora; rezultă diferențe mari și pentru λ .

Se subliniază deosebita că valorile coeficientului λ sunt valabile numai pentru tipul de rezistență studiat și că ei pot fi utilizati prin similaritate, numai pentru calculele orientative. La nevoie, pentru lucrări sau instalații importante, ei trebuie să fie determinați în laborator.

Revenind la diagramele concentratoare din fig.nr. 6686/9 este de observat că, dată fiind îngrijorarea domeniului de variație al numărului Re, ele nu permit deducerea de concluzii noi, în ceea ce priveste ceea ce cunoscute. Este de remarcat însă că scopul lucrării de față nu a fost acela de a face un studiu asupra variației coeficientilor de pierderi pentru diferite tipuri de rezistențe locale, ci de a arăta că metoda regimului de curgere nepermanent, pentru determinarea a coeficientilor de pierderi este posibilă și ea dă, practic, același rezultat ca și metoda cunoscută a regimului permanent; în plus ea are anumite avantaje

Importante făță de acenția din urmă (Cap.7). Această metodă oferă însă cererilor posibilitatea studierii rapide și complete a oricărui tip de rezistență locală, realizarea de studii exhaustive, din care vor putea resulta și concluzii noi asupra dependenței funcționale dintre coeficientul de pierderi și domeniul de curgere (Re) în care urmează să lucreze rezistența locală studiată.